

## 1-24 降雨実験装置における雨滴発生機構について (第1報)

鳥取大学工学部 正会員 寺西 靖治  
 学生員 村瀬 義典  
 日本水道コンサルタント 正会員 平尾 康

## 1. まえがき

市街地雨水流出解析を行なうにあたってまず第一に要求されることは、現地における観測データの収集であるが、そのためには多大の日数と努力を要する。そこで、これを補うために、自然降雨現象および流出現象をシミュレートした実験装置を用いることが有効な手段となる。本研究發表者らは実際に降雨シミュレーターの設計・製作を試み、これに関して2, 3の成果が得られたので、ここに掲表するものである。

## 2. 降雨装置の概要および性能

本装置の概要は図-1に示すとおりである。大別して降雨発生部と移動台とに分かれる。降雨発生部は1ユニットが内1リットル $\times$ 1m $\times$ 50mmの透明合成樹脂の水槽で、その底面には内径28mm、外径1.2mmのステンレス管が中心間隔5cmを取り付けられている(図-2)。ユニットの数はタテ3個、ヨコ3個合計9個あり、おのおの独立して高位水槽に連結される。したがって、ユニットごとに流量調整が可能であつて、降雨強度0～400mm/hの範囲で任意に設定できる。高位水槽出口にはフローター式流量計が取り付けられており、これによってただちに降雨強度が測定される。移動台は台車の上に平面積3m $\times$ 3m=9m<sup>2</sup>の資料台を載せたもので、手動または電動式によつてレール上を移動するものである。電動式運転の場合には、台車走行速度2.6～31.6cm/secの範囲で任意に設定できる。この装置は降雨域の移動を再現するためには設けられたものである。

## 3. 雨滴発生機構

降雨発生水槽は図-2で示したとおり、内径0.8mmのステンレス管19×19=36本が設置されており、この管における平均流速は次式で表わされる。

$$V = 0.00153 I \quad \dots \dots \dots \quad (1)$$

ここで、V: 流速(cm/sec), I: 降雨強度(mm/h)である。(1)式

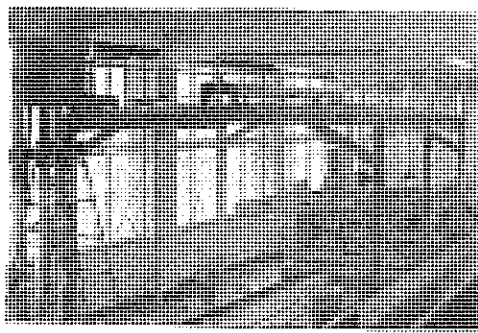


図-1 降雨装置

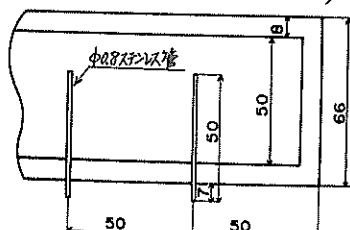
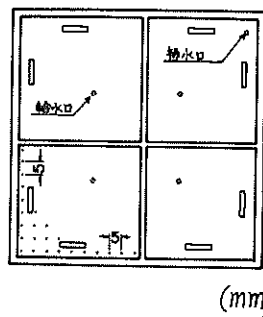


図-2 降雨発生水槽

$I = 0 \sim 400 \text{ mm/hr}$  を代入すると、 $V = 0 \sim 0.612 \text{ m/sec}$  となる。

また、最大流量のときのレイノルズ数は、 $Re = Vd/\nu = 490$  となり、管内水流は層流と考えられる。

一般に流速によって生じる重力  $P$  は、

$$P = \omega V^2 / 2g \quad \dots \dots \dots (2)$$

によつて表わされるので、管内径を  $d_t (\text{m})$  として管内充によつて力  $F_V (\text{kg})$  は、

$$F_V = \pi d_t^2 \omega V^3 / 8g \quad \dots \dots \dots (3)$$

で表わされる。よつて(1)式を代入して、

$$F_V = 6.00 \times 10^{-6} I^2 \quad \dots \dots \dots (4)$$

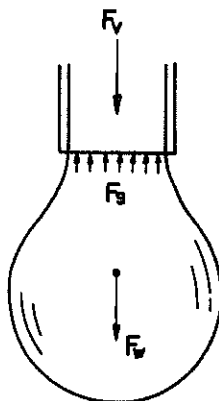


図-3 自由形成雨滴

管末端に働く表面張力  $F_s (\text{kg})$  は、

$$F_s = \pi d_t \sigma \quad \dots \dots \dots (5)$$

であるので、 $\sigma = 0.00142 \text{ kg/m}$  として次式を得る。

$$F_s = 1.865 \times 10^{-5} \quad \dots \dots \dots (6)$$

図-3において、雨滴雨滴に働く重力による力とすると、 $F_v + F_s$  のときに管出口において雨滴の形成が進行し、 $F_v + F_s = F_s$  のときに雨滴形成が完了し、次の瞬間に落下する。また、降雨強度がある限界以上になつて、 $F_v + F_s > F_s$  となれば雨滴落下は連続流れに変わる。本実験装置においては降雨強度  $280 \text{ mm/hr}$  のときにこの現象がみられた。雨滴形成過程の例を図-4に示す。

#### 4. 雨滴経

$F_v + F_s = F_s$  のときに雨滴形成がなされることは上述のとおりであるが、Chowらは  $F_v$  が  $F_s$  に比較し

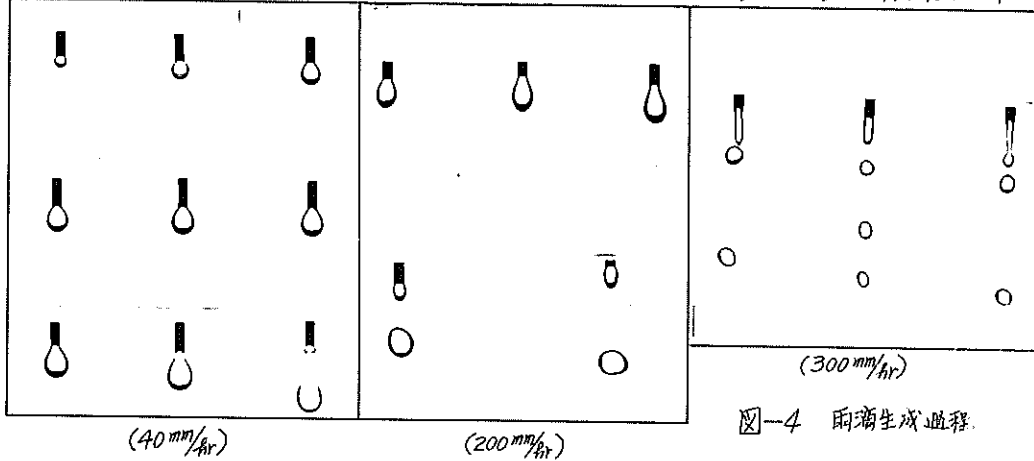


図-4 雨滴生成過程

#### 4 3 村瀬義典

て微小であるとき、すなわち、雨滴形成速度が遅く、雨滴が十分に成長する場合を考えて、 $F_w = F_0$  と仮定し、式(2)の雨滴径を次式によって求めた。

$$d = 0.182 (\sigma' dt)^{1/4} \quad \text{---(7)}$$

(7)式を本実験装置の場合に適用すると、 $d = 3.29 \text{ mm}$  と計算される。<sup>2)</sup> 式(7)と Mutchler<sup>3)</sup>, Mutchler-Moldenhauer<sup>3)</sup>, Chow and Harbaugh<sup>4)</sup> から求めた実験値を図-5に示す。しかるに、図-4に示したように、降雨強度によっても雨滴径は変化することが明

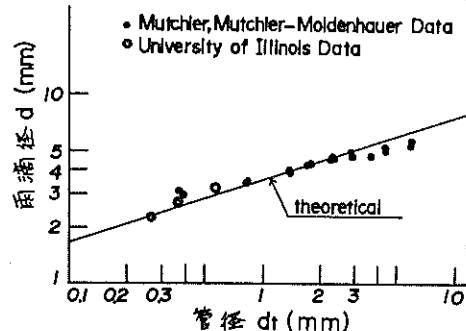


図-5  $dt \sim d$  関係図

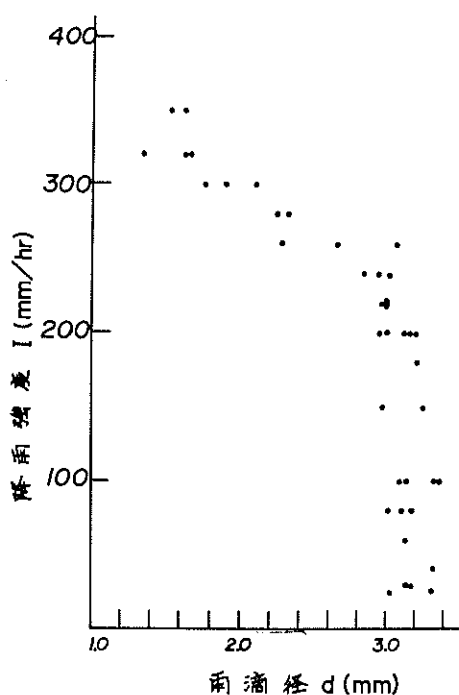
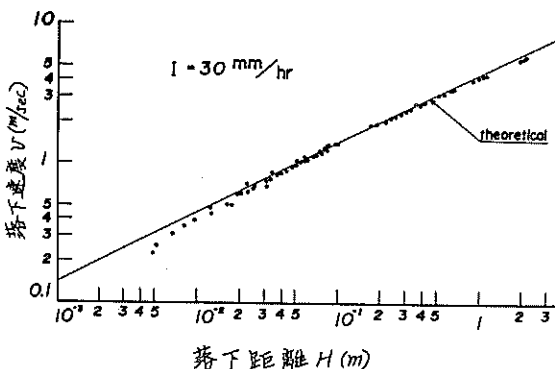


図-6  $d \sim I$  関係図

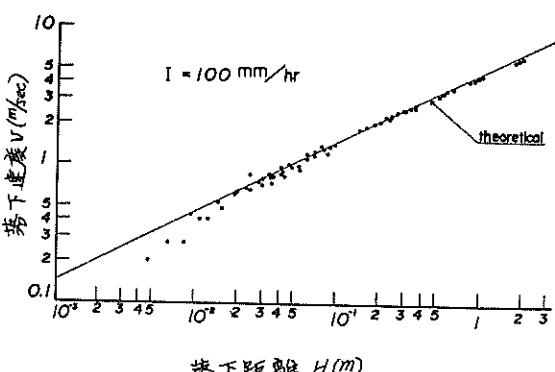


図-7 落下距離～落下速度関係図

#### 4 村瀬義典

うかであつて、図-5のようを検討のみでは不十分である。いま、図-4によつて測定される雨滴形をだ円の回転体と見なし、この体積と等しい球の直径を求めて、降雨強度との関係を表わすと図-6のようになる。図から明らかなように、同一降雨強度であつても、生成する雨滴の大きさは必ずしも一定ではなく、降雨強度が $100 \text{ mm/sec}$ で雨滴直径が $3.0 \sim 3.4 \text{ mm}$ のあたりにあり、 $200 \text{ mm/sec}$ を越えると急激に減少することがわかる。

#### 5. 落下速度

いま雨滴の落下を、空気抵抗を無視して自由落下するものと考へよし、落下速度 $V$ と落下距離 $H$ との間に、

$$V = \sqrt{2gH} \quad \dots \dots \dots \quad (8)$$

する関係が存在するはずである。本装置における $V$ と $H$ との関係を調べるために、ストロボ写真撮影を行なつた。その結果の一例を図-7に示す。本実験装置における雨滴の有効落下距離は約 $0.5 \sim 2.0 \text{ m}$ の範囲で比較的容易に設定が可能であるが、この範囲での $V$ ～ $H$ 関係は、降雨強度に関係なく理論値とよく一致することがわかる。

#### 6. むすび

自然降雨の雨滴径および落下速度は、気象条件あるいは降雨の種類により種々異なり、一般的に論じることは困難であるが、通常雨滴は落下途中で空気抵抗や風によるせん断作用によつて、直径 $5 \sim 6 \text{ mm}$ 以上には成長しないとされている。また、そのときの最大落下速度は約 $9 \text{ m/sec}$ となることが報告されている。<sup>4)</sup> 本実験装置によつて生成される雨滴径は図-6に示したとおりであるが、一般に市街地流出解析を対象とする場合には、降雨強度が $20 \sim 100 \text{ mm/sec}$ 程度であるから、このときの雨滴径は $3.0 \sim 3.4 \text{ mm}$ のものが作り出されといふと考えよう。Laws<sup>4)</sup>によると、自然降雨において直径約 $3 \text{ mm}$ の雨滴は降雨強度約 $100 \text{ mm/sec}$ のときに最も多く発生するとされていゝので、上記の値が $1 \text{ m}$ 以上の高強度の降雨による雨滴のものと予想される。しかしながら、雨水流出実験を行なう場合には降雨のみならず、流去過程に関しても相似則の適用が考へられるので、この点の解釈は異なり得る。雨滴の落下速度は、地上に到達したときの挙動つあるいは土砂の搬移などを究明する上で重要な要素となるが、最終的に形成される雨滴形状が問題となる。本例では図-4に示したとおり、流出管距離小小さな直後では雨滴体長軸と短軸を垂直および水平方向に交互に変化させながら、だ円回転体となつて振動しつつ落下するこれがわかるが、落下距離約 $10 \text{ cm}$ を越えるとその後はほとんど球形となることがストロボ写真撮影によつて確認された。自然降雨の雨滴形状についても現在ストロボ写真によつて解析中であるが、機会をあらためて發表する予定である。

#### 〈参考文献〉

- 1) Chow, T.V., and T.E. Harbaugh., Raindrop Production for Laboratory Watershed Experimentation, Jr. of Geophysical Research, Vol. 70, No. 24, 1965
- 2) Mutchler, C.K., Equipment for Producing Uniform Drops, U.S. Dept. Agr., ARS Rept. Progr., 1962
- 3) Mutchler, C.K., and W.C. Moldenhauer., An Application for a Laboratory Rainfall Simulator, Iowa Agr. and Home Econ. Exp. Sta., Journal Paper J-4186, Ames, Iowa, 1962
- 4) Laws, O. J., Measurement of the Fall-Velocity of Water-Drops and Raindrops, Trans. Amer. Geophysical Union, Part 3, 1941